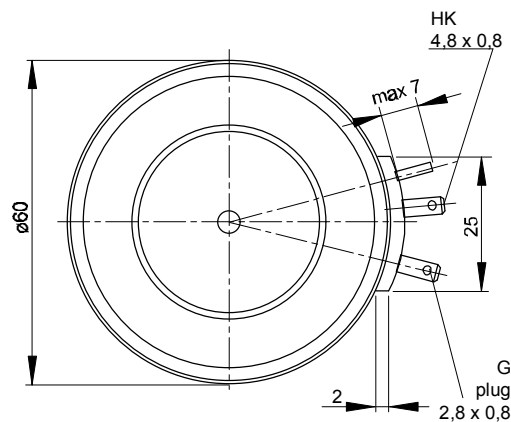
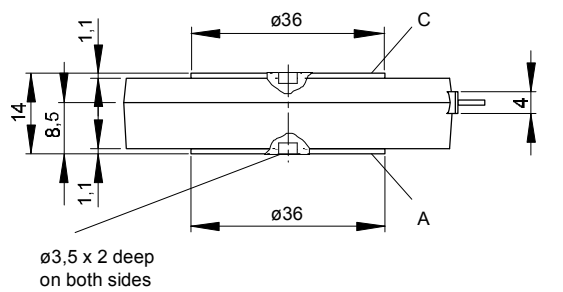




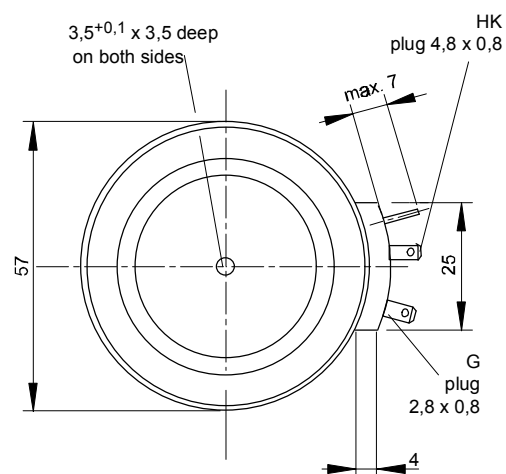
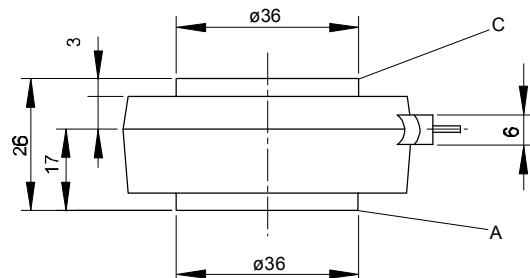
European Power-  
Semiconductor and  
Electronics Company

## Marketing Information

T 458 N



T 459 N



# T 458 N T 459 N

<b>Elektrische Eigenschaften</b>		<b>Electrical properties</b>				
<i>Höchstzulässige Werte</i>		<i>Maximum rated values</i>				
Periodische Vorwärts- und Rückwärts-Spitzenperrspannung		repetitive peak forward off-state and reverse voltages	$t_{vj} = -40^\circ\text{C}...t_{vj \max}$	$V_{\text{DRM}}, V_{\text{RRM}}$	2000 2200 2400 2600	V
Vorwärts-Stoßspitzenperrspannung		non-repetitive peak forward off-state voltage	$t_{vj} = -40^\circ\text{C}...t_{vj \max}$	$V_{\text{DSM}} = V_{\text{DRM}}$	2000 2200 2400 2600	V
Rückwärts-Stoßspitzenperrspannung		non-repetitive peak reverse voltage	$t_{vj} = +25^\circ\text{C}...t_{vj \max}$	$V_{\text{RSM}} = V_{\text{RRM}}$	2100 2300 2500 2700	V
Durchlaßstrom-Grenzeffektivwert		RMS on-state current		$I_{\text{TRMSM}}$	1000	A
Dauergrenzstrom		average on-state current	$t_c = 85^\circ\text{C}$	$I_{\text{TAVM}}$	459	A
			$t_c = 58^\circ\text{C}$		635	A
Stoßstrom-Grenzwert		surge current	$t_{vj} = 25^\circ\text{C}, t_p = 10 \text{ ms}$ $t_{vj} = t_{vj \max}, t_p = 10 \text{ ms}$	$I_{\text{TSM}}$	7500	A
Grenzlastintegral		$I^2 t$ -value	$t_{vj} = 25^\circ\text{C}, t_p = 10 \text{ ms}$ $t_{vj} = t_{vj \max}, t_p = 10 \text{ ms}$	$I^2 t$	281000 228000	$\text{A}^2\text{s}$ $\text{A}^2\text{s}$
Kritische Stromsteilheit		critical rate of rise of on-state current	$v_D \leq 67\%, V_{\text{DRM}}, f = 50 \text{ Hz}$	$(di_T/dt)_{cr}$	120	$\text{A}/\mu\text{s}$
Kritische Spannungssteilheit		critical rate of rise of off-state voltage	$v_L = 10 \text{ V}, i_{GM} = 1,25 \text{ A}, di_G/dt = 1,25 \text{ A}/\mu\text{s}$ $t_{vj} = t_{vj \max}, v_D = 67\% V_{\text{DRM}}$ 5.Kennbuchstabe/5th letter C 5.Kennbuchstabe/5th letter F	$(dv/dt)_{cr}$	500 1000	$\text{V}/\mu\text{s}$ $\text{V}/\mu\text{s}$
<b>Charakteristische Werte</b>		<b>Characteristic values</b>				
Durchlaßspannung	on-state voltage	$t_{vj} = t_{vj \max}, i_T = 2000 \text{ A}$	$v_T$	max. 2,75	V	
Schleusenspannung	threshold voltage	$t_{vj} = t_{vj \max}$	$V_{T(\text{TO})}$	1	V	
Ersatzwiderstand	slope resistance	$t_{vj} = t_{vj \max}$	$r_T$	0,84	$\text{m}\Omega$	
Zündstrom	gate trigger current	$t_{vj} = 25^\circ\text{C}, v_D = 6 \text{ V}$	$I_{GT}$	max. 250	$\text{mA}$	
Zündspannung	gate trigger voltage	$t_{vj} = 25^\circ\text{C}, v_D = 6 \text{ V}$	$V_{GT}$	max. 1,5	V	
Nicht zündender Steuerstrom	gate non-trigger current	$t_{vj} = t_{vj \max}, v_D = 6 \text{ V}$	$I_{GD}$	max. 5	$\text{mA}$	
Nicht zündende Steuerspannung	gate non-trigger voltage	$t_{vj} = t_{vj \max}, v_D = 0,5 V_{\text{DRM}}$	$V_{GD}$	max. 0,2	V	
Haltestrom	holding current	$t_{vj} = 25^\circ\text{C}, v_D = 6 \text{ V}, R_A = 5 \Omega$	$I_H$	max. 200	$\text{mA}$	
Einraststrom	latching current	$t_{vj} = 25^\circ\text{C}, v_D = 6 \text{ V}, R_{GK} \geq 10 \Omega$	$I_L$	max. 620	$\text{mA}$	
Vorwärts- und Rückwärts-Sperrstrom	forward off-state and reverse currents	$i_{GM} = 1,25 \text{ A}, di_G/dt = 1,25 \text{ A}/\mu\text{s}, t_g = 20 \mu\text{s}$	$i_D, i_R$	max. 80	$\text{mA}$	
Zündverzug	gate controlled delay time	$t_{vj} = t_{vj \max}, v_D = V_{\text{DRM}}, v_R = V_{\text{RRM}}$	$t_{gd}$	max. 3,3	$\mu\text{s}$	
Freiwerdezeit	circuit commutated turn-off time	siehe Techn. Erl./see Techn. Inf.	$t_q$	typ. 300	$\mu\text{s}$	
<b>Thermische Eigenschaften</b>		<b>Thermal properties</b>				
Innerer Wärmewiderstand für beidseitige Kühlung	thermal resistance, junction to case for two-sided cooling	$\Theta = 180^\circ \text{ el, sin}$	$R_{\text{thJC}}$	max. 0,0455	$^\circ\text{C}/\text{W}$	
für anodenseitige Kühlung	for anode-sided cooling	DC		max. 0,044	$^\circ\text{C}/\text{W}$	
für kathodenseitige Kühlung	for cathode-sided cooling	$\Theta = 180^\circ \text{ el, sin}$	$R_{\text{thJC(A)}}$	max. 0,0665	$^\circ\text{C}/\text{W}$	
		DC		max. 0,065	$^\circ\text{C}/\text{W}$	
Übergangs-Wärmewiderstand	thermal resistance, case to heatsink	$\Theta = 180^\circ \text{ el, sin}$ beidseitig/two-sided einseitig/one-sided	$R_{\text{thCK}}$	max. 0,1375 max. 0,136	$^\circ\text{C}/\text{W}$ $^\circ\text{C}/\text{W}$	
Höchstzul. Sperrsichttemperatur	max. junction temperature		$t_{vj \max}$	125	$^\circ\text{C}$	
Betriebstemperatur	operating temperature		$t_{cop}$	-40...+125	$^\circ\text{C}$	
Lagertemperatur	storage temperature		$t_{stg}$	-40...+140	$^\circ\text{C}$	
<b>Mechanische Eigenschaften</b>		<b>Mechanical properties</b>				
Si-Elemente mit Druckkontakt	Si-pellet with pressure contact					
Anpreßkraft	clamping force		F	7,5...17,5	kN	
Gewicht	weight	T 458 N/T 459 N	G	typ. 160/270	g	
Kriechstrecke	creepage distance	T 458 N/T 459 N		17/25	mm	
Feuchteklaasse	humidity classification	DIN 40040			C	
Schwingfestigkeit	vibration resistance	$f = 50 \text{ Hz}$		50	$\text{m/s}^2$	
Maßbild, anliegend	outline, attached	DIN 41814-153D4/-153C4				

## T 458 N, T 459 N

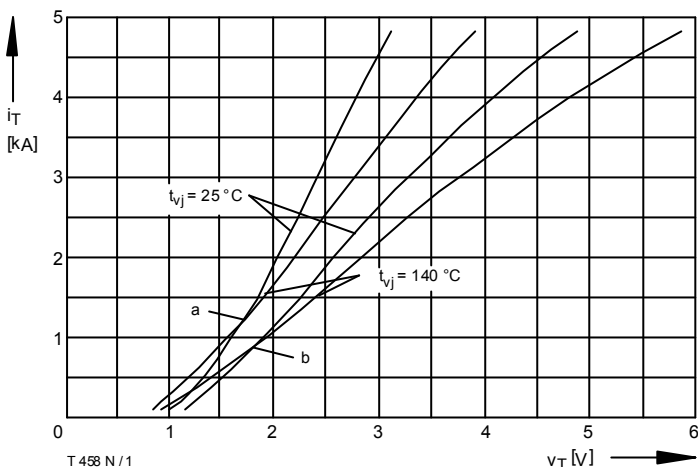


Bild / Fig. 1  
Durchlaßkennlinien / On-state characteristics  $i_T = f(v_T)$   
a - Typische Kennlinien / typical characteristics  
b - Grenzkennlinien / limiting characteristics

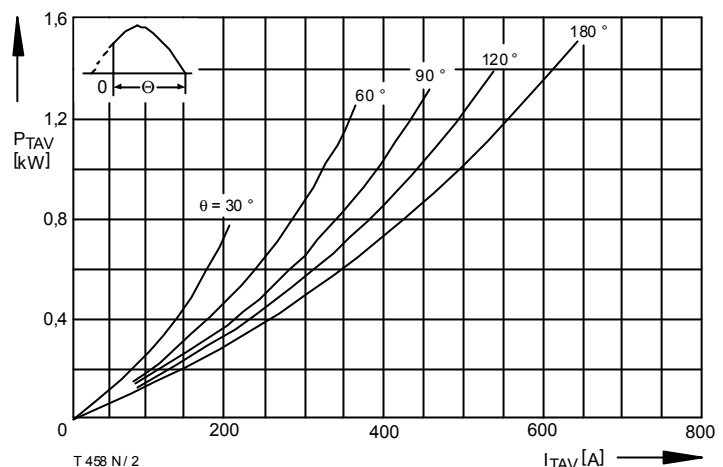


Bild / Fig. 2  
Durchlaßverlustleistung / On-state power loss  $P_{TAV} = f(I_{TAV})$   
Parameter: Stromflußwinkel / Current conduction angle  $\theta$

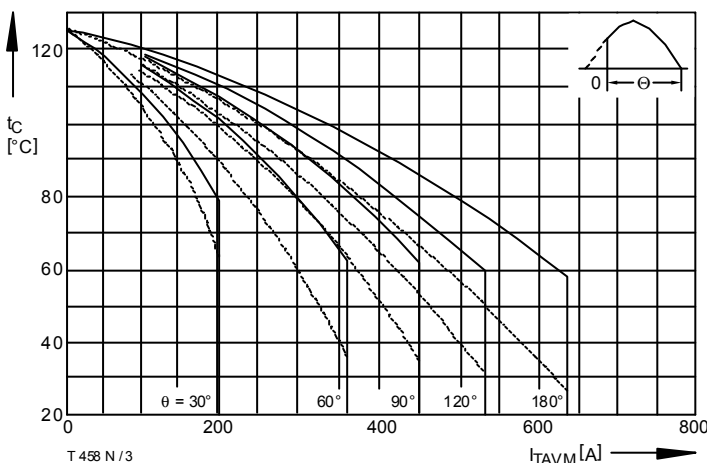


Bild / Fig. 3  
Höchstzulässige Gehäusetemperatur / Max. allowable case temperature  $t_A = f(I_{TAVM})$   
--- Anodenseitige Kühlung / Anode-sided cooling  
— Beidseitige Kühlung / Two-sided cooling  
Parameter: Stromflußwinkel / Current conduction angle  $\theta$

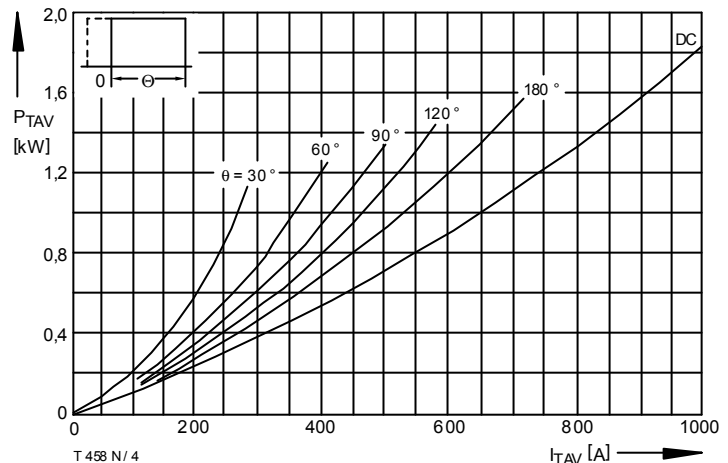


Bild / Fig. 4  
Durchlaßverlustleistung / On-state power loss  $P_{TAV} = f(I_{TAV})$   
Parameter: Stromflußwinkel / Current conduction angle  $\theta$

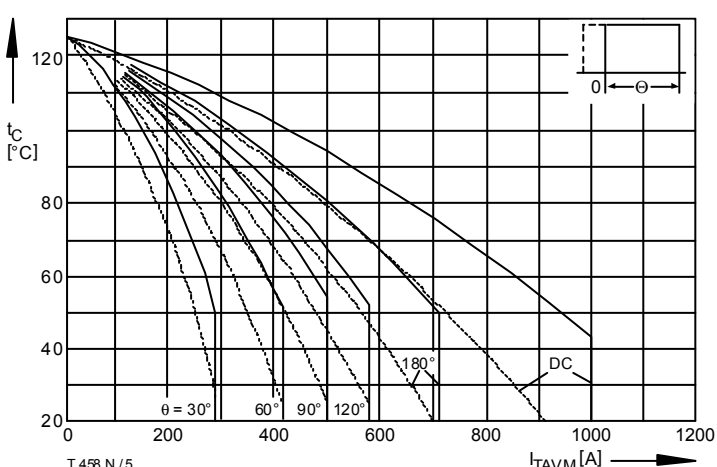


Bild / Fig. 5  
Höchstzulässige Gehäusetemperatur / Max. allowable case temperature  $t_A = f(I_{TAVM})$   
--- Anodenseitige Kühlung / Anode-sided cooling  
— Beidseitige Kühlung / Two-sided cooling  
Parameter: Stromflußwinkel / Current conduction angle  $\theta$

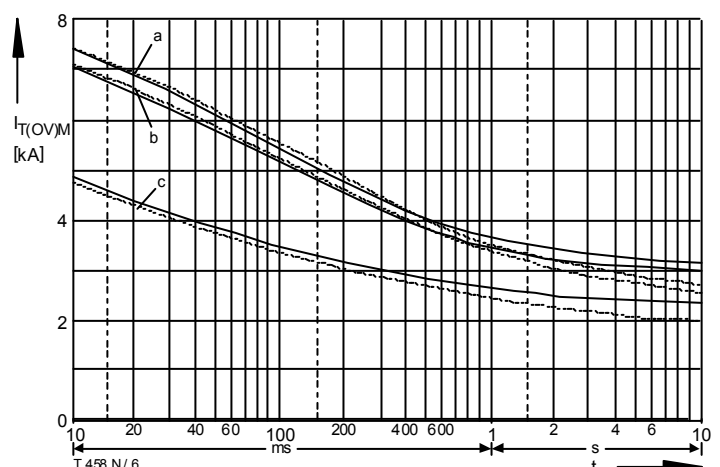


Bild / Fig. 6  
Grenzstrom / Max. overload on-state current  $I_{T(OV)M} = f(t)$ ,  $v_{RM} = 0.8 V_{RRM}$   
--- anodenseitige Kühlung / anode-sided cooling  
— beidseitige Kühlung / two- sided cooling  
Belastung aus / Surge current occurs:  
a - Leerlauf / No-load conditions,  $t_C = 35 °C$   
b - Leerlauf / No-load conditions,  $t_C = 45 °C$   
c - im Anschluß an Betrieb mit Dauergrenzstrom / After operation at max. average on-state current  $I_{TAVM}$

# T 458 N, T 459 N

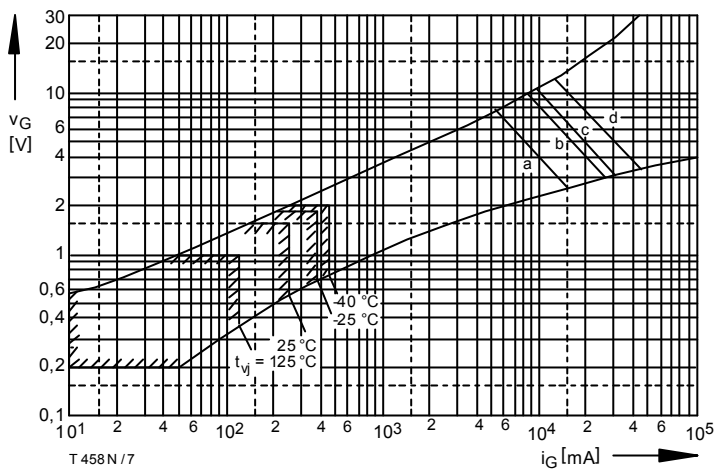


Bild / Fig. 7

Steuercharakteristik mit Zündbereichen / Gate characteristic with triggering

areas as  $v_G = f(i_G)$ ,  $V_D = 6\text{ V}$

Parameter: a b c d

Steuerimpulsdauer / trigger pulse duration  $t_g$  [ms] 10 1 0,5 0,1

Höchstzulässige Spitzensteuerverlustleistung /  
Max. rated peak gate power dissipation [W] 40 80 100 150

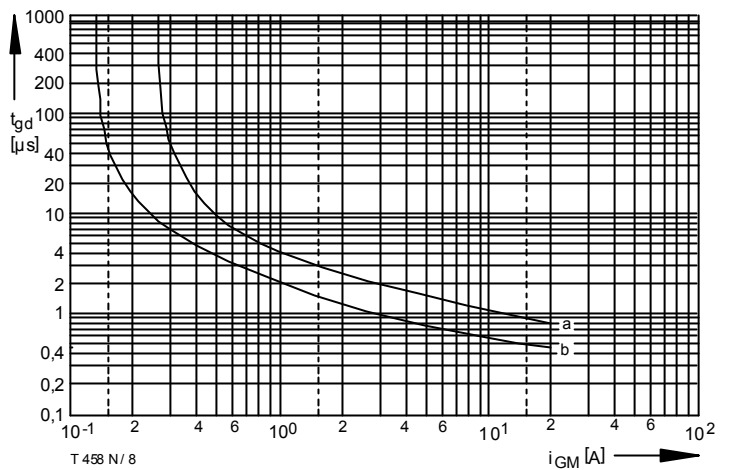


Bild / Fig. 8

Zündverzug / Gate controlled delay time  $t_{gd} = f(i_{GM})$

$t_{vj} = 25^\circ\text{C}$ ,  $di_G/dt = i_{GM}/1\mu\text{s}$

a - Maximaler Verlauf / Limiting characteristic

b - Typischer Verlauf / Typical characteristic

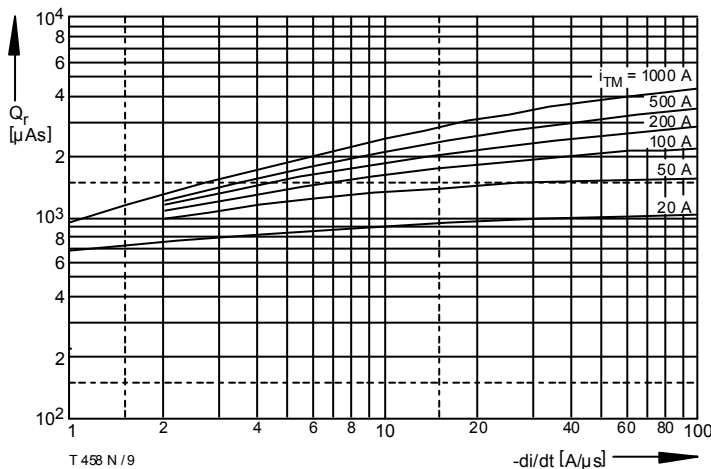


Bild / Fig. 9

Sperrverzögerungsladung / Recovered charge  $Q_r = f(di/dt)$

$t_{vj} = t_{vj \text{ max}}$ ,  $V_R = 0,5\text{ V}_{RRM}$ ,  $V_{RM} = 0,8\text{ V}_{RRM}$

Parameter: Durchlaßstrom / On-state current  $i_{TM}$

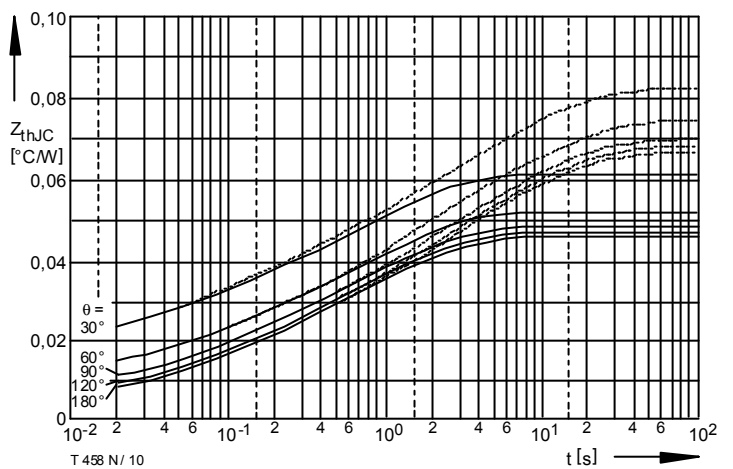


Bild / Fig. 10

Transienter innerer Wärmewiderstand / Transient thermal impedance

$Z_{thJC} = f(t)$

----- Anodenseitige Kühlung / Anode-sided cooling

——— Beidseitige Kühlung / Two-sided cooling

Parameter: Stromflußwinkel / current conduction angle  $\theta$

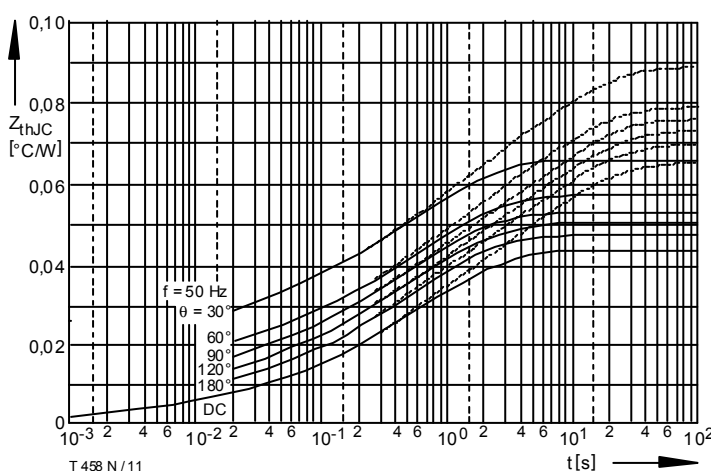


Bild / Fig. 11

Transienter innerer Wärmewiderstand / Transient thermal impedance

$Z_{thJC} = f(t)$

----- Anodenseitige Kühlung / Anode-sided cooling

——— Beidseitige Kühlung / Two-sided cooling

Parameter: Stromflußwinkel / current conduction angle  $\theta$

Analytische Elemente des transienten Wärmewiderstandes  $Z_{thJC}$  pro Zweig für DC  
Analytical elements of transient thermal impedance  $Z_{thJC}$  per arm for DC

Beidseitig / Two-sided

Pos. n	1	2	3	4	5	6
$R_{thn}$ [ $^\circ\text{C}/\text{W}$ ]	0,002	0,0078	0,0154	0,0188		
$\tau_n$ [s]	0,00093	0,0203	0,273	1,57		

Anodenseitig / Anode-sided

Pos. n	1	2	3	4	5	6
$R_{thn}$ [ $^\circ\text{C}/\text{W}$ ]	0,00228	0,00732	0,0195	0,0199	0,016	
$\tau_n$ [s]	0,0011	0,0216	0,365	2,73	14,4	

Kathoden seitig / Cathode-sided

Pos. n	1	2	3	4	5	6
$R_{thn}$ [ $^\circ\text{C}/\text{W}$ ]	0,0026	0,0093	0,0234	0,0318	0,0487	0,0202
$\tau_n$ [s]	0,00125	0,03	0,727	4,58	21	123

Analytische Funktion / Analytical function:

$$Z_{thJC} = \sum_{n=1}^{n_{\max}} R_{thn} \left(1 - e^{-\frac{t}{\tau_n}}\right)$$